

ПЛОСКАЯ ЗАДАЧА ТЕОРИИ УПРУГОСТИ ДЛЯ
НЕОДНОРОДНОЙ ЛУНОЧКИ С СИММЕТРИЧНЫМИ
ТРЕЩИНAMI
Арутюнян Л.А.

Л.А. Հարությունյան

ճարեր պարունակող բաղադրյալ լուսնաձև նարմնի առաջականության տեսության մեջ հարը խնդիրի լուծում

Մրկրելու կողրդինատային համակարգի և Ֆուրյեի խնտեգրաֆ օգնությամբ, տրված է շրջանային աղղիներով սահմանափակված առաջականության հարք տևատրյալ բաղադրյալ մարմնի մեջ խնդիրի լուծում, որը պարունակում է սիմետրիկ ճարեր բաղանման ճակելուուրի վրա:

Մասմագիր դեպքում, եթե բացակայում են ճարերը կամ նյութերը միացված են կոնտակտային գծի երկրադրյամբ, ապա խնդիրը լուծման համար սուսացված է փակ լուծում:

Ցույց է տրված, որ եթե բաղադրյալ մարմնի վրա ազդող արտաքին տօնքը և նյութերի երկրաչափական ափերը նույն են, ապա լարվածյան վիճակը կախված չէ նյութերի համակարգություններից:

Հնարինակած է լարվածյան վարքը ճարեր և միացման ճակելուուրի ձայրակետերում:

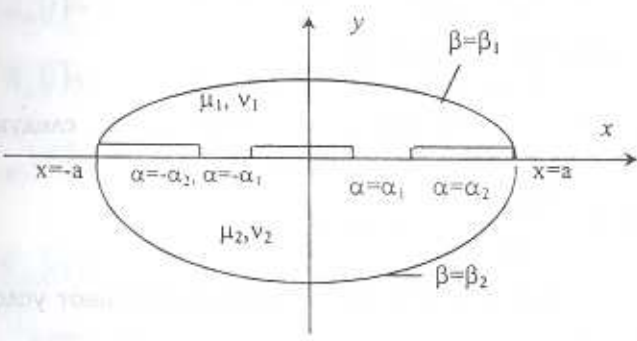
L.A. Haroutunyan

On one plane problem of elasticity theory inhomogeneous Moonshape body with symmetrical cracks

В настоящей работе с помощью биполярных координат и аппарата интеграла Фурье дано решение плоской задачи теории упругости для двух областей, образованных пересечением двух окружностей, имеющих симметричные трещины между материалами.

В работах [4-9] приведены решения задач для составных тел, имеющих на границе раздела материалов трещины. В этих работах рассмотрены слои, круговые кольца, дуги окружности и прямоугольники.

В данной работе рассматривается плоская контактная задача теории упругости для области, состоящей из двух внутренних луночных областей с различными упругими характеристиками. На контактной линии имеются две симметричные трещины, превращающие область в двухсвязную (фиг. 1).



Фиг. 1

Задача решается при помощи функции напряжений в биполярной системе координат $\alpha; \beta$, которые связаны с декартовыми координатами x, y соотношениями [1-2]

$$xg(\alpha, \beta) = \operatorname{sh} \alpha, \quad yg(\alpha, \beta) = \sin \beta, \quad ag(\alpha, \beta) = \operatorname{ch} \alpha + \cos \beta \quad (1)$$

где a – параметр биполярных координат.

В биполярной системе координат первый материал с упругими характеристиками μ_1, v_1 занимает область $\alpha \in (-\infty; \infty), \beta \in [0; \beta_1]$, а второй с упругими характеристиками μ_2, v_2 – область $\alpha \in (-\infty; \infty), \beta \in [\beta_2; 0]$.

Функция напряжений $\Phi_m(\alpha, \beta) (m=1,2)$ удовлетворяет бигармоническому уравнению в биполярной системе координат [1-3]

$$\left(\frac{\partial^4}{\partial \alpha^4} + 2 \frac{\partial^4}{\partial \alpha^2 \partial \beta^2} + \frac{\partial^4}{\partial \beta^4} - 2 \frac{\partial^2}{\partial \alpha^2} + 2 \frac{\partial^2}{\partial \beta^2} + 1 \right) (g\Phi_m) = 0 \quad m=1,2 \quad (2)$$

Напряжения и перемещения выражаются через функцию напряжений следующими формулами:

$$\begin{aligned} a\sigma_{\alpha}^{(m)} &= \left[(\operatorname{ch} \alpha + \cos \beta) \frac{\partial^2}{\partial \beta^2} - \operatorname{sh} \alpha \frac{\partial}{\partial \alpha} + \sin \beta \frac{\partial}{\partial \beta} + \operatorname{ch} \alpha \right] (g\Phi_m) \\ a\sigma_{\beta}^{(m)} &= \left[(\operatorname{ch} \alpha + \cos \beta) \frac{\partial^2}{\partial \alpha^2} - \operatorname{sh} \alpha \frac{\partial}{\partial \alpha} + \sin \beta \frac{\partial}{\partial \beta} - \cos \beta \right] (g\Phi_m) \\ a\tau_{\alpha\beta}^{(m)} &= -(\operatorname{ch} \alpha + \cos \beta) \frac{\partial^2}{\partial \alpha \partial \beta} (g\Phi_m) \end{aligned} \quad (3)$$

$$aU_m = \frac{(\operatorname{ch} \alpha + \cos \beta)}{2\mu_m} \left[(1 - 2v_m) \frac{\partial \Phi_m}{\partial \alpha} - \frac{\partial \Psi_m}{\partial \beta} \right]$$

$$aV_m = \frac{(\operatorname{ch} \alpha + \cos \beta)}{2\mu_m} \left[(1 - 2v_m) \frac{\partial \Phi_m}{\partial \beta} - \frac{\partial \Psi_m}{\partial \alpha} \right] \quad m=1,2$$

где $\Psi_m(\alpha, \beta) (m=1,2)$ – бигармоническая функция, связанная с $\Phi_m(\alpha, \beta) (m=1,2)$ формулами

$$g\Psi_m(\alpha, \beta) = (1 - v_m) \iint \left(\frac{\partial^2}{\partial \alpha^2} - \frac{\partial^2}{\partial \beta^2} - 1 \right) (g\Phi_m) d\alpha d\beta \quad (4)$$

Пусть трещина находится в промежутке

$$\alpha \in (-\infty, -\alpha_2) \cup (-\alpha_1, \alpha_1) \cup (\alpha_2, \infty) \text{ и } \beta = 0$$

Границные условия для напряжений равносильны следующим условиям для функции напряжений [1]:

$$(g\Phi_m)|_{\beta=\beta_m} = \varphi_m(\alpha); \quad \left. \frac{\partial(g\Phi_m)}{\partial \beta} \right|_{\beta=\beta_m} = \psi_m(\alpha) \quad (5)$$

Предполагаем, что $\varphi_m(\alpha)$ и $\psi_m(\alpha) (m=1,2)$ удовлетворяют условиям разложимости в интеграл Фурье.

На линии контакта имеем следующие условия:

$$\begin{aligned}
 \frac{\partial(g\Phi_m)}{\partial\beta}\Big|_{\beta=0} &= 0 & \alpha \in (-\infty, \infty) \\
 \partial(g\Phi_m)\Big|_{\beta=0} &= 0 & \alpha \in (-\infty, -\alpha_2) \cup (-\alpha_1, \alpha_1) \cup (\alpha_2, \infty) \\
 (g\Phi_1)\Big|_{\beta=0} &= (g\Phi_2)\Big|_{\beta=0} & \alpha \in (-\alpha_2, -\alpha_1) \cup (\alpha_1, \alpha_2) \\
 V_1\Big|_{\beta=0} &= V_2\Big|_{\beta=0} & \alpha \in (-\alpha_2, \alpha_1) \cup (\alpha_1, \alpha_2)
 \end{aligned} \tag{6}$$

Учитывая симметрию, бигармоническую функцию напряжений $\Phi_m(\alpha, \beta)$ $m = 1, 2$ удобно представить интегралом Фурье такого вида:

$$g\Phi_m(\alpha, \beta) = \sqrt{\frac{2}{\pi}} \int_0^\infty f_m(\alpha, \beta) \cos t\alpha dt \quad (m = 1, 2) \tag{7}$$

где

$$f_m(t, \beta) = A_m(t) \operatorname{ch} t\beta \cos \beta + B_m(t) \operatorname{sh} t\beta \sin \beta + C_m(t) \operatorname{sh} t\beta \cos \beta + D_m(t) \operatorname{ch} t\beta \sin \beta \tag{8}$$

Удовлетворяя граничным (5) и частично контактным (6) условиям, получаем следующие системы уравнений для определения неизвестных интегрирования:

$$\begin{aligned}
 f_m(t, \beta_m) &= \bar{\varphi}_m(t) & f_m(t, \beta_m) &= \bar{\psi}_m(t) \\
 f_m(t, 0) &= 0 & f_m(t, 0) &= X(t) \quad m = 1, 2
 \end{aligned} \tag{9}$$

где величины $\bar{\varphi}_m(t)$ и $\bar{\psi}_m(t)$ ($m = 1, 2$) являются преобразованиями Фурье функций $\varphi_m(\alpha)$ и $\psi_m(\alpha)$ ($m = 1, 2$)

$$\begin{aligned}
 \bar{\varphi}_m(t) &= \sqrt{\frac{2}{\pi}} \int_0^\infty \varphi_m(\alpha) \cos t\alpha d\alpha \\
 \bar{\psi}_m(t) &= \sqrt{\frac{2}{\pi}} \int_0^\infty \psi_m(\alpha) \cos t\alpha d\alpha \quad m = 1, 2
 \end{aligned} \tag{10}$$

а $X(t)$ — пока неизвестная функция, которая определяется позже.

Разрешая систему (9) для неизвестных $A_m(t), B_m(t), C_m(t)$ и $D_m(t)$ ($m = 1, 2$), найдем значения через неизвестную $X(t)$

$$\begin{aligned}
 A_m(t) &= X(t), \quad D_m(t) = -tC_m(t) \\
 B_m(t) &= -\frac{t(\operatorname{sh}^2 t\beta_m + \sin^2 \beta_m)}{\Delta_m(t)} X(t) + \frac{(t^2 + 1)\operatorname{sh} t\beta_m \sin \beta_m}{\Delta_m(t)} \bar{\varphi}_m(t) + \\
 &+ \frac{\operatorname{sh} t\beta_m \cos \beta_m - t \operatorname{ch} t\beta_m \sin \beta_m}{\Delta_m(t)} \bar{\varphi}_m(t) \tag{11}
 \end{aligned}$$

$$\begin{aligned}
 C_m(t) &= -\frac{\operatorname{sh} 2t\beta_m + t \sin 2\beta_m}{2\Delta_m(t)} X(t) - \frac{\operatorname{sh} t\beta_m \sin \beta_m}{\Delta_m(t)} \bar{\psi}_m(t) + \\
 &+ \frac{t \operatorname{ch} t\beta_m \sin \beta_m + \operatorname{sh} t\beta_m \cos \beta_m}{\Delta_m(t)} \bar{\varphi}_m(t) \quad m = 1, 2
 \end{aligned}$$

$$\Delta_m(t) = \operatorname{sh}^2 t \beta_m - t^2 \sin^2 \beta_m$$

Неизвестная функция $X(t)$ определяется из следующей системы парных интегральных уравнений, которая получается из смешанных контактных условий (6):

$$\begin{aligned} \int_0^\infty t X(t) \sin t \alpha dt &= 0 & \alpha \in (0, \alpha_1) \cup (\alpha_2, \infty) \\ \int_0^\infty [M(t)X(t) + N(t)] \sin t \alpha dt &= 0 & \alpha \in (\alpha_1, \alpha_2) \end{aligned} \quad (12)$$

где

$$\begin{aligned} M(t) &= \frac{\Delta(t)}{2\Delta_1(t)\Delta_2(t)}, & N(t) &= \frac{\Delta_3(t)}{\Delta_1(t)\Delta_2(t)} \\ \Delta_3(t) &= -\Delta_1(t)(t \operatorname{ch} t \beta_1 \sin \beta_1 + t \operatorname{sh} t \beta_1 \cos \beta_1) \bar{\varphi}_1(t) + \Delta_2(t) \operatorname{sh} t \beta_1 \sin \beta_1 \bar{\psi}_1(t) + h \Delta_1(t)(t \operatorname{ch} t \beta_2 \sin \beta_2 + t \operatorname{sh} t \beta_2 \cos \beta_2) \bar{\varphi}_2(t) - h \Delta_2(t) \operatorname{sh} t \beta_2 \sin \beta_2 \bar{\psi}_2(t) \\ \Delta(t) &= (\operatorname{sh} 2t \beta_1 + t \sin \beta_1)(\operatorname{sh}^2 t \beta_2 - t^2 \sin^2 \beta_2) - h(\operatorname{sh} 2t \beta_2 + t \sin 2\beta_2)(\operatorname{sh}^2 t \beta_1 - t^2 \sin^2 \beta_1) \\ h &= \frac{\mu_1(1-\nu_2)}{\mu_2(1-\nu_1)} \end{aligned} \quad (13)$$

В случае, когда размеры областей и внешние усилия одинаковы, т.е. $\beta_2 = -\beta_1$, $\bar{\varphi}_2 = \bar{\varphi}_1$, $\bar{\psi}_2 = -\bar{\psi}_1$, то из (13) получим

$$\begin{aligned} M(t) &= \frac{1+h}{2\Delta_1(t)} (\operatorname{sh} 2t \beta_1 + t \sin 2\beta_1) \\ N(t) &= \frac{1+h}{\Delta_1(t)} [\operatorname{sh} t \beta_1 \sin \beta_1 \bar{\psi}_1(t) - (t \operatorname{ch} t \beta_1 \sin \beta_1 + t \operatorname{sh} t \beta_1 \cos \beta_1) \bar{\varphi}_1(t)] \end{aligned} \quad (14)$$

Как видно из (12), решение поставленных задач не зависит от упругих характеристик составляющих материалов. Аналогичные результаты для других областей были получены в работах [4-9]. Применяя преобразование Фурье, получаем интегральные уравнения Фредгольма второго рода

$$X(t) = \frac{1}{\pi i} \int_0^\infty [(M(\tau) - t)X(\tau) + N(\tau)] K(t, \tau) d\tau \quad (15)$$

или

$$Y(t) = \frac{M(t) - t}{\pi i} \int_0^\infty K(t, \tau) Y(\tau) d\tau + N(t) \quad (16)$$

где

$$Y(t) = [(M(t) - t)]X(t)$$

$$K(t, \tau) = \frac{\sin(t + \tau)\alpha_2 - \sin(t - \tau)\alpha_1}{t + \tau} - \frac{\sin(t - \tau)\alpha_2 - \sin(t + \tau)\alpha_1}{t - \tau} \quad (17)$$

В частном случае при $\alpha_1 = \alpha_2$, $X(t) = 0$ и решение совпадает с решением, полученным в работе [7], а при $\alpha_1 = 0, \alpha_2 = \infty$, $X(t) = -\frac{N(t)}{M(t)}$ решение совпадает с решением, полученным в работах [7-9].

На линии контакта характер нормальной напряжений в точках $\alpha = \alpha_1$ или $\alpha = \alpha_2$ после некоторых преобразований имеет вид

$$\sigma_{\beta}^{(m)}(\alpha) \Big|_{\beta=0} = \frac{\operatorname{ch}\alpha + 1}{\pi} \int_0^{\infty} \left[\sin \tau \alpha_1 \left(|\alpha - \alpha_1|^{-\frac{1}{2}} + |\alpha + \alpha_1|^{-\frac{1}{2}} \right) - \right. \\ \left. - \sin \tau \alpha_2 \left(|\alpha_2 - \alpha|^{-\frac{1}{2}} + |\alpha_2 + \alpha|^{-\frac{1}{2}} \right) \right] Y(\tau) d\tau + H(\alpha) \quad (18)$$

При $\alpha = \alpha_1$ или $\alpha = \alpha_2$ на линии контакта нормальные напряжения имеют особенность порядка $\frac{1}{2}$. В представленном виде член, содержащий особенность в точках $\alpha = \alpha_1$ и $\alpha = \alpha_2$, разделен $aH(\alpha) \rightarrow 0$ при $\alpha = \alpha_1$ или $\alpha = \alpha_2$.

Для исследования поведения напряжений в окрестности края поверхности контакта $x = a$ (т.е. $\alpha = \infty$) в случае $\alpha_1 = 0$ и $\alpha_2 = \infty$ ($X(t) = -N(t)/M(t)$), нормальное напряжение представим в виде

$$a\sigma_{\beta}^{(m)} \Big|_{\beta=0} = \frac{1}{\sqrt{2\pi}} \int_{-\infty}^{\infty} \left[t^2 (1 + e^{-\alpha})^2 + it(1 - e^{-2\alpha}) + 2e^{-\alpha} \right] \frac{\Delta_1(t)}{\Delta(t)} e^{\alpha(1+it)} dt \quad (19)$$

Интеграл (20) по вещественной оси дополняется интегралом по верхней (при $x < 0$ или $\alpha < 0$) или нижней (при $x > 0$ или $\alpha > 0$) полуокружностями радиуса $R \rightarrow \infty$ с центром в начале координат. Применяя теорему о вычетах, представим (19) в виде бесконечного ряда

$$a\sigma_{\beta}^{(m)} \Big|_{\beta=0} = i\sqrt{2\pi} \left[t_1^2 (1 + e^{-\alpha})^2 + it_1(1 + e^{-2\alpha}) + 2e^{-\alpha} \right] \frac{\Delta_1(t_1)}{\Delta'(t_1)} e^{\alpha(1-\eta_1+it_1)} + \\ + i\sqrt{2\pi} \sum_{k=2}^{\infty} \left[t_k^2 (1 + e^{-\alpha})^2 + it_k(1 + e^{-2\alpha}) + 2e^{-\alpha} \right] \frac{\Delta_1(t_k)}{\Delta'(t_k)} e^{\alpha(1-\eta_k+it_k)} \quad (20)$$

где $t_k = \xi_k - i\eta_k$ — корни уравнения $\Delta(t) = 0$ ($\xi_k > 0, \eta_k > 0$).

Очевидно, характер напряженного состояния около края $x = a$ ($\alpha = \infty$) определяется величиной мнимой части первого простого корня $t_1 = \xi_1 - i\eta_1$ уравнения $\Delta(t) = 0$. При $\eta_1 > 1$ имеем нулевое

напряженное состояние, а при $\eta_1 < 1$ имеем концентрацию напряжений. В случае $\eta_1 = 1$ напряжения на краю поверхности контакта конечны.

ЛИТЕРАТУРА

1. Уфлянд Я.С. Биполярные координаты в теории упругости. М.-Л.: Гостехиздат, 1950. 232с.
2. Уфлянд Я.С. Интегральные преобразования в задачах теории упругости. Ленинград: Наука, 1968.
3. Арутюнян Л.А. Плоская задача теории упругости для составной области, образованной из двух луночек // Изв. АН Арм. ССР. Механика. 1976. Т. 29. №1. С. 51-56.
4. Абрамян Б.Л., Макарян В.С. Осьесимметричная задача о контакте между двумя слоями с учетом трения между слоями. // Изв. АН Арм. ССР. Механика. 1976. Т.29. №5. С. 3-14.
5. Баблоян А.А., Мелконян М.Г., О контакте двух прямоугольников без скрепления с определением области контакта. // Изв. АН Арм. ССР. Механика. 1974. Т. 27. №5. С. 3-18.
6. Мелконян М.Г., Мкртчян А.М. Об одной контактной задаче для двух прямоугольников // Изв. АН Арм. ССР. Механика. 1975. Т.28. №3. С. 13-28.
7. Арутюнян Л.А., Аликиян Ж.Г., Аветисян Г.А. Плоская контактная задача для составного тела с симметричной трещиной между материалами // В. сб.: Инж. проблемы строительной механики. Ереван: ЕрПИ. 1985.
8. Арутюнян Л.А. Смешанная контактная задача для двух луночек. // Изв. НАН Армении. Механика. 1995. Т.48, №2. С.83-89.
9. Арутюнян Л.А. Плоская задача теории упругости для составной круглой луночки с трещиной между материалами. // Изв. НАН Армении. Механика. 1999. Т.52. №2. С.3-10.

Институт Механики
НАН Армении

Поступила в редакцию
2.03.2001